

بررسی تغییرپذیری بارش و روند شاخص بی نظمی آن در سواحل جنوب دریای خزر

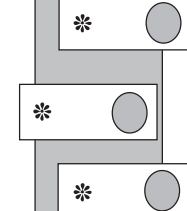
سید شفیع موسوی^۱

(تاریخ پذیرش نهایی مقاله: ۱۵/۲/۸۶)

باند جنوبی دریای خزر مرطوب ترین ناحیه سرزمین ایران است که همه ساله بالاترین میزان بارشهای ۲۴ ساعته کشور را نیز به خود اختصاص داده است. از اینرو موقعیت ممتاز ناحیه در سطح کشور و تغییرات اقلیمی سالهای اخیر در سیاره زمین، سبب شد تا برای آشکار سازی روند خطی تغییرات فصلی بارشها و ضریب بی نظمی آن در نیمه دوم قرن بیستم از داده‌های بارندگی ۶ ایستگاه حوضه جنوبی دریای خزر استفاده شود. نخستین نتایج این تحقیق نشان داد برغم اینکه بیشترین ناهنجاریهای منفی بارش در فصل زمستان و بهار به ترتیب در محدوده جنوب شرقی و جنوب غربی متمرکز شده است، تنها بخش میانی منطقه با افزایش در بارشهای پاییزی رو به رو می‌باشد. علاوه بر این با توجه به افت بالاترین بارشهای روزانه فصل پاییز در ازلی و خیزش آن در رامسر و بابلسر، احتمال می‌رود این نزولات جوی از جنوب غرب ناحیه در امتداد خط ساحلی به طرف شرق انحراف یافته باشد. اما درخصوص تغییرات بارندگی در نیمه گرم سال تنها می‌توان به روند کاهشی آن در سراسر منطقه اشاره کرد. در ادامه دیده شد که ضریب بی نظمی سالانه در بعضی نواحی با افزایش همراه بوده، اما فرایند رو به رشد بارندگیهای سنگین روزانه برای فصول بهار و تابستان جنوب شرقی حوضه خزر و فصل پاییز ناحیه غرب جلگه مازندران از موقعیت ویژه‌ای در سطح منطقه برخوردار شده است.

کلمات کلیدی: سواحل جنوبی دریای خزر، روند خطی، تغییرات بارندگی، بالاترین بارشهای ۲۴ ساعته، ضریب بی نظمی.

چکیده



مقدمه

محافل علمی از گوشه و کنار جهان، اخباری مبنی بر تغییر در رژیم بارندگی و تکرار بیشتر ریزش تیپ های شدید را گزارش می کنند. به عنوان نمونه نتایج تحقیق ننگ و لون^۱ (۲۰۰۴) نشان داد که در سده انتهای قرن بیستم (۱۹۷۰ تا ۲۰۰۰ میلادی) خشکسالی ها و بارش های سیلابی در سراسر زمین بیشتر تکرار شدند[۲]. در همین رابطه گفته می شود حوضه آبی کارون شمالی در دهه های اخیر (۱۳۷۰-۸۰) با ریزش بارانهای سیلابی بزرگ، خسارت زیادی به بخشهای آبخیزداری حوضه وارد کرده است[۴]. همچنین گسترش طول دوره خشکی استان اصفهان با تمرکز شدن بیشتر نزولات از فصول پاییز و بهار به فصل زمستان و افزایش تعداد روزهای بارندگی با بیش از ۱۰ میلیمتر[۶] و نیز کاهش نزولات آسمانی طی سالهای ۱۹۶۰ تا ۲۰۰۰ در منطقه شمال غرب ایران[۲] و مشابه همین گزارش در رابطه با کاهش بارندگی در شرق و مرکز مازندران[۱۳] و تکرار بارش های سیلابی در منتهی الیه جنوب شرق نوار ساحلی خزر و نمونه های دیگری در دشت قزوین[۱۱] و تهران[۷] شواهدی از شکل گیری بی نظمی های نزولات جوی درکشور هستند.

به موازات این دسته از مطالعات، ارزیابی های دیگری نیز با استفاده از روش «پیوند از راه دور»^۲ در مورد بارش های ایران صورت گرفته است. خشکسالی جنوب غرب سواحل دریای خزر در فازهای منفی SOI^۳ [۲۰] یا ارتباط معنی دار منفی بارش سالانه آذربایجان شرقی با نوسانات اطلس شمالی^۴ [۲] از جمله چنین پیوندهایی در ایران محسوب می شود. دستجردی (۱۳۷۶) نشان داد که غالب سیستم ها و توده های موثر روی بارش های سنگین سواحل جنوبی خزر، از سرزمین هایی نظیر حوضه شرقی دریای مدیترانه، شرق آفریقا، جنوب و شرق اروپا نقل مکان می کنند[۵]. اما با این وجود، سرزمین های مذکور از جمله قلمرو هایی هستند که جدیدترین نتایج تحقیقات، به آسانی تغییرات اقلیمی را در آنجا ثابت می کند[۱۶، ۱۸]. مثلاً علیرغم کاهش ۱۰ تا ۲۶٪ بارندگی در کمربند حوضه مدیترانه، در محدوده جنوب شرق آن، افزایش به سمت بارندگی های سنگین روزانه دیده شده است. بررسی های بعدی نشان داد که این رویداد بی ارتباط با تغییر گردش عمومی جو نیست (دوبل شدن فراوانی تراف دریای سرخ که موجب تزریق بیش از معمول رطوبت به این ناحیه

1. Neng & Luwen

2. Teleconnection

3. Southern Oscillation Index

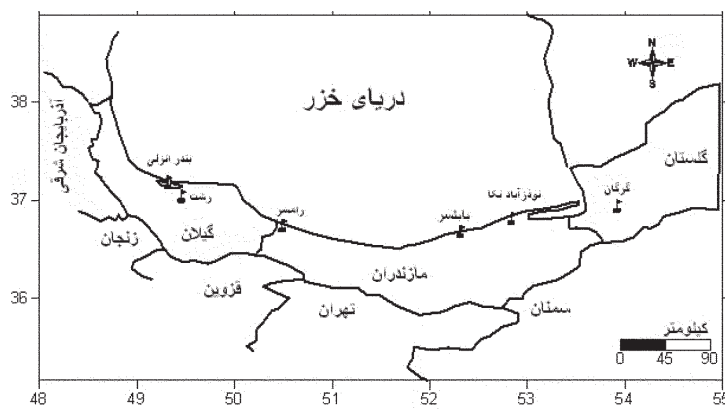
4. North Atlantic Oscillation

شده و کاهش کم فشار سوریه) [۱۵]. گردش عمومی جو با همراه داشتن سیستم‌های صعود و رطوبت نقش به سزاگی در کم و کیف بارندگی ها بازی می کند [۹]. به عنوان مثال ترافیک روی دریای سرخ تشکیل می شود ۳۸٪ (در فصول بهار و پاییز) و کم فشار های سوریه ۳۴٪ (فصل زمستان) بارشهای طوفانی و سیلابی نواحی شرق مدیترانه را پوشش می دهند [۱۶]. با وجود چنین ناهنجاریهای جوی، علیجانی و زاهدی (۱۳۸۱) در بخشی از تحقیق خود با اشاره به روند فراوانی سالانه تیپ‌های باران آور روی شمال غرب ایران، معتقد به تغییر معنی دار آنها نیستند [۸]. دستجردی (۱۳۷۶) عوارض عمدۀ گردش عمومی جو را که بارشهای شدید (بیش از ۱۰۰ میلیمتر) سواحل جنوب دریای خزر را شامل می شدند، مطرح و با ذکر خسارات ناشی از آنها، سیستم‌های جوی تشکیل دهنده این بارشهای را به دو الگوی چرخندی و واچرخندی متمایز می کند که در میان آنها تراف دریای سرخ و کم فشارهای مدیترانه‌ای نیز به چشم می خورد [۵]. به دلیل گسترش طولی ناحیه خزری سهم تأثیرپذیری هر بخش از ساحل رانمی توان از این تیپ‌های هوا مساوی دانست، به همین ترتیب مقدار تغییرپذیری نزولات جوی را هم نمی توان در همه ناحیه یکسان فرض نمود. یوسفی (۱۳۸۲) به نقش مجزای عوامل بارش زایین نواحی غرب و شرق جلگه خزر اشاره کرده و نتیجه می گیرد که با حرکت به سوی شرق ساحل سیستم‌های واچرخندی پاییزی به تدریج جای خود را به چرخندی می دهد. شدیدترین بارشهای قطعه شرقی نیز از جایجایی یک روزه غرب به شرق تراف میانی جو عنوان شده است [۱۴]. با توجه به اینکه مرطوب ترین بخش کشورمان، باند جنوبی سواحل دریای خزر محسوب شده و بیشترین آمار روزهای بارش بیش از ۳۰ میلیمتر را دارد [۱۰] لذا آگاهی از تغییرات زمانی-مکانی الگوی این نوع ریزشها در سالهای اخیر به موازات افزایش میزان ناهنجاریهای جوی در سیاره زمین حائز اهمیت است. بنابراین در این تحقیق سعی بر آن بوده است که الگوی پراکنده و اندازه تغییرات احتمالی متوسط بارندگی، بالاترین بارشهای ۲۴ ساعته که از لحظه فرسایش، عمران و کشاورزی با اهمیت تلقی می شود [۱۰]، به همراه شاخص بی نظمی آن روی نوار ساحلی در مقیاس‌های جداگانه فصل، مشخص شوند.

داده‌ها و روش

در این مطالعه داده‌های بارش ۳۸ ساله پنج ایستگاه سینپتیک و یک ایستگاه بارانسنجی استانهای گیلان (دو ایستگاه)، مازندران (سه ایستگاه) و گرگان (یک ایستگاه) که توزیع جغرافیایی آنها در

شکل ۱ و مشخصات آنها در جدول ۱ درج گردیده است، انتخاب شدند. از بین این ایستگاهها تنها برای نوذرآباد به عنوان یک نمونه بارانسنجی عمل تبدیل ماههای شمسی به میلادی انجام گرفته است.



شکل ۱ - موقعیت جغرافیایی و نحوه پراکنش ایستگاههای مورد استفاده

جدول ۱ - مشخصات مکانی ایستگاههای مورد مطالعه

نام ایستگاه	عرض جغرافیایی دقیقه-درجه	طول جغرافیایی دقیقه-درجه	ارتفاع (متر)	نوع ایستگاه	طول دوره آماری (میلادی)
گرگان	۳۶° ۵۱'	۵۴° ۱۶'	۱۳/۳	سینوپتیک	۱۹۶۶ - ۲۰۰۳
نوذرآباد نکا	۳۶° ۴۹'	۵۳° ۱۴'	-۱۹	بارانسنجی	۱۹۶۶ - ۲۰۰۳
باللس	۳۶° ۴۳'	۵۲° ۳۹'	-۲۱	سینوپتیک	۱۹۶۶ - ۲۰۰۳
راسمر	۳۶° ۵۴'	۵۰° ۴۰'	-۲۰	سینوپتیک	۱۹۶۶ - ۲۰۰۳
رشت	۳۷° ۱۲'	۴۹° ۳۹'	۳۶/۷	سینوپتیک	۱۹۶۶ - ۲۰۰۳
bandar anzali	۳۷° ۲۸'	۴۹° ۲۸'	-۲۶/۲	سینوپتیک	۱۹۶۶ - ۲۰۰۳

داده های بارش به دو صورت میانگین ماهانه و بالاترین مقدار روزانه از سازمان هواشناسی دریافت و در ادامه به مقادیر فصلی (سه ماهه) و سالانه تنظیم شده است. صحبت همگنی داده ها نیز به روش «ران تست» مورد ارزیابی و تایید قرار گرفت.

لازم به ذکر است که استفاده از فرض بالاترین بارشهای ۲۴ ساعته تنها به دلیل در دسترس بودن و لزوماً به معنی دوام بارش در ۲۴ ساعت نیست چون این بارشها در پایه های زمانی کوتاه تر از ۱۲، ۶، ۲ و حتی ۱ ساعت نیز اتفاق می افتد.

پس از بررسی های مقدماتی روی تغییرات بارندگی، نسبت بالاترین بارش $24\text{ ساعته فصلی و سالانه}$ (بر حسب درصد) از رابطه (۱) برای هر سال مورد محاسبه قرار گرفت.

$$(1) \quad \frac{r_i}{R_i} \times 100 = \text{ضریب بی نظمی}$$

در رابطه فوق r_i مقدار بالاترین بارش $24\text{ ساعته فصل یا سال}$ ، R_i مقدار کل بارش که در همان سال یا فصل باریده است. این ضریب می تواند بی نظمی های احتمالی را که در شدت بارندگی هر منطقه بوقوع پیوسته است به ما نشان دهد. بنابراین هر اندازه رقم بی نظمی بارش یک سال یا یک دوره اقلیمی بیشتر یا کمتر باشد، به همین ترتیب آب و هوای آن با شرایط رژیم رگباری یعنی بارندگیهای سنگین روزانه نزدیکتر یا دورتر می شود [۱۰ و ۱]. به منظور آشکارسازی میزان تغییر احتمالی هریک از پارامترهای بارندگی از برآورد شیب خط رگرسیون در طول دوره آماری استفاده شده است.

تحلیل تغییرات فصلی روند بارش ها

الف- متوسط سالانه

نتایج بررسی تغییرات بلندمدت بارندگی روی باند ساحلی خزر در جدول ۲ نشان داده شده است.

نتایج بررسی گویای آن است که در سه دهه پایانی قرن بیستم مقادیر روند تغییرات بارندگی سالانه به ویژه برای فصل پاییز در بخش مرکزی جلگه (بابلسر و رامسر) رشد محسوسی داشته است.

در همین دوره ناهنجاریهای منفی بارش سالانه در دو سوی انتهای حوضه در ایستگاه گرگان و ازلی نمود بیشتری یافته و بیشترین سهم سالانه آن در این دو ایستگاه به ترتیب به فضول زمستان و تابستان برای ایستگاه گرگان و بهار و زمستان برای ایستگاه ازلی مربوط شده است.

بارزترین ناهنجاری نزولات جوی در خلال فصل زمستان، تغییرات کاهشی آن است که ناحیه جنوب شرق این کمریند (گرگان و نوذرآباد نکا) نسبت به نواحی مجاور خود در رتبه بالاتری قرار گرفته است. از آنجاکه ناحیه فوق سهم قابل توجه ای از بارشهای دوره سرد خود را در مقایسه با بخش جنوب غرب این محدوده، از کم فشارهای مهاجر دریافت می کند [۱۴] و چون تعداد همین کم فشارهای سالهای اخیر حتی در سرزمین های منشائیز کاهش نسبی را نشان داده اند [۱۵]، گمان می رود به تدریج در ادامه همین فرایند منجر به افت شدید نزولات ناحیه جنوب شرقی شده باشد.

جدول ۲ - مقادیر تغییر روند خطی بارندگی در طول دوره آماری (اعداد بالای خطوط) (بر حسب میلیمتر)، میانگین و انحراف معیار (اعداد پایین خطوط) (ارقام درون پرانتز انحراف معیار هستند)

سال	پاییز	تابستان	بهار	زمستان	فصل نام ایستگاه
-۱۹۹**	-۴۲/۵	-۳۷*	-۴۵	-۷۵/۲**	گرگان
۵۹۴(۱۰.۸)	۱۷۶(۵۷)	۷۹ (۳۸)	۱۶۷(۵۱)	۱۷۲(۵۶)	
-۷۰	۲۶	-۲۳	۳	-۷۴/۸۴ **	نورآباد نکا
۶۹۱(۱۳۶)	۲۶۶(۱۰۰.۶)	۷۳ (۶۷/۲)	۱۲۴ (۵۳)	۲۲۹(۶۴)	
۱۰۷/۵	۱۴۰.*	-۸	-۲۵	۱	بابلسر
۹۲۲(۱۵۸)	۴۰.۴ (۱۳۱)	۱۰۰/۵(۵۶/۶)	۱۱۵/۴(۴۷)	۳۰۳ (۷۸)	
۱۵	۱۳۹	-۶۶	-۲۰	-۳۹	رامسر
۱۲۱۱(۲۸۵)	۶۰.۷(۲۷۱)	۱۵۴(۸۲)	۱۷۸/۵(۵۷)	۲۷۳/۵(۱۰.۶)	
-۹۷	-۵۳	-۲۰	-۵۲	-۸۵	رشت
۱۳۶۸(۲۵۸)	۵۵۷(۱۷۹)	۱۵۵/(۶۸)	۲۲۷(۷۱)	۴۲۸/۵(۱۵۰)	
-۱۲۹	۶۳	-۳۱	-۷۰**	-۹۰	بندرانزلی
۱۷۷۴(۳۴۸)	۸۵۸(۲۷۲)	۱۹۱/۵(۱۰.۵)	۱۹۹(۶۲/۵)	۵۲۶(۱۸۵)	

* معنی داری آماری در فاصله اطمینان ۹۰٪

** معنی داری آماری در فاصله اطمینان ۹۵٪

علاوه بر این، روند عمومی بارش فصول بهار و تابستان نیز به طور گستردۀ ای در سراسر ناحیه مورد مطالعه سیر نزولی را در پیش گرفته است. در همین رابطه ننگ و لون (۲۰۰۴) در مقیاس سیاره ای ارتباط بسیار نزدیکی بین کاهش بارندگی های تابستانه (ژوئن، ژوئیه و اوت) با تغییرات SST^۱ گزارش کرده اند که انتظار می رود خشکسالیهای تابستانه در منطقه جلگه خزر هم بی تناسب با آن نباشد. آنها نشان دادند در موقع خشکسالی تابستانه روی اغلب سرزمین های نیمکره شمالی، دمای سطح اقیانوس آتلانتیک شمالی در فصل زمستان پیشین (دسامبر، ژانویه و فوریه) یعنی قبل از وقوع خشکسالی، پایین تر از نرمال است و در تابستانهای درگیر با خشکسالی (JJA) در بخش شرق اقیانوس آرام، گرمرتر از بخش غرب آن است [۲۱].

در نقطه مقابل مهمترین تغییرات افزایشی که مشاهده شد در فصل پاییز روی مرکز نوار ساحلی واقع است و گفته می شود چنین موقعیتی این امکان را فراهم می سازد که هر وقت سیستم های غربی و شرقی موجب ریزشهای پاییزه در قسمتهای غرب و شرق خزر می شوند، بخشهای مرکزی را نیز

1. Sea Surface Temperature

متاثر می سازد. از طرفی بالاترین اختلافات دمایی هوا و سطح آب شمال و جنوب حوضه خزر (هنگامی که بالای صفر درجه است) در ماههای فصل پاییز روی می دهد^[۱۴]. براین اساس هرگونه تغییری که در گرادیان شبیه فشار و دما بین شمال و جنوب خزر به وجود آید، قادر خواهد بود موقعیت مراکز بارندگی را نیز در باند ساحلی تغییر دهد. نظام السادات و قاسمی (۲۰۰۴) با اشاره به این مسئله تاکید دارد که در فازهای النینو به دلیل ضعف پرفشار سیبری و به دنبال آن افت گرادیان فشار بین شمال و جنوب حوضه خزر، اثر نیروی کوریولیس^۱ نیز تضعیف شده و جهت وزش بادها به سمت بخش های شرقی تر هدایت می شود و نهایتا منجر به ناهنجاریهای مثبت بارش برای نواحی شرق و منفی برای غرب سواحل جنوبی خزر می شود^[۲۰]. از سوی دیگر قبل محققان ثابت کردند که شاخص نوسانات جنوبی (SOI) در یک سده گذشته با کاهش (۹/-۰) مواجه شده و پدیده النینو در چند دهه گذشته به فراوانی اتفاق افتاده است^[۱۲]. به نظر می آید این وضع در ادامه موجب افزایش باران در نوار مرکزی ناحیه شده است.

ب- بالاترین بارشهای ۲۴ ساعته

جدول ۳ مقادیر تغییر بالاترین بارشهای ۲۴ ساعته را نشان می دهد. نتایج گویای آن است که ایستگاههای میانی منطقه مورد مطالعه برخلاف اطراف آن دارای آنمالیهای مثبتی هستند. دامنه تغییر میانگین بالاترین بارشهای ۲۴ ساعته ناحیه نیز از ۴۸,۶ میلیمتر (گرگان) تا ۱۳۸ میلیمتر (رامسر) در نوسان می باشد. شایان ذکر است در حالی میانگین ایستگاه رامسر از انزلی برتر بوده که اولی با ۳۱ میلیمتر افزایش در برابر ۲۶ میلیمتر کاهش انزلی قرار گرفته است. مدلهای نوسانی شکل ۲ تغییرات بلندمدت بالاترین بارشهای سنگین را در ۶ ایستگاه ساحلی مشخص کرده است. در ایستگاه انزلی هنگامی که انتظار می رفت شدیدترین بارندگی های روزانه دیده شود، ارقام پاییتر از سطح میانگین (۱۲۲,۶ میلیمتر) را در انتهای دوره نشان داده است. این مسئله نیز تا حدی روی میانگین متحرک ۵ ساله مشهود است. اما در عوض ایستگاه های غرب و مرکز استان مازندران (به ویژه رامسر) در دوره های پایانی، ارقام به مراتب بالاتری را به خود اختصاص دادند. بنابراین می توان اذعان داشت که هسته بارندگی پاییزه، موقعیت مکانی خود را در اوآخر دوره از استان گیلان جدا و به سمت کرانه های ساحلی غرب مازندران متماطل کرده است. البته ایستگاه انزلی فقط در فصل پاییز با

1. Coriolis

جدول ۳- مقادیر تغییر روند خطی بالاترین بارش‌های ۲۴ ساعته در طول دوره آماری (اعداد بالای خطوط) (بر حسب میلیمتر)، میانگین و انحراف معیار (اعداد پایین خطوط) (ارقام درون پرانتز انحراف معیار هستند)

سال	پاییز	تابستان	بهار	زمستان	فصل نام ایستگاه
-۷/۶	-۱۳	-۱۶	۵/۲	-۱۰	گرگان
۴۸/۶(۱۷/۵)	۴۰/۹(۱۶/۸)	۲۹(۲۰/۵)	۲۸/۲(۱۰/۹)	۲۶/۸(۱۰/۸)	
-۷/۶	-۲/۲۸	-۲۶/۳	۱	-۱۴/۸	نوذرآباد نکا
۶۸/۶(۳۱/۵)	۶۷/۲(۳۲/۳)	۲۹/۶(۲۶/۳)	۲۶/۹(۱۱)	۳۸(۱۳/۸)	
۱۳/۶	۱۶	-۱۰/۶	-۲	۱/۳	بابلسر
۹۰/۷(۴۳/۸)	۸۸/۶(۴۵/۳)	۳۲(۱۶/۲)	۲۵/۴(۱۰/۳)	۴۴/۳(۱۶/۲)	
۳۱	۴۵/۶	-۴/۱۶ **	-۵	-۱۴/۵	رامسر
۱۳۸/۲(۶۲/۲)	۱۳۳/۵(۶۶/۶)	۴۹/۶(۲۹/۴)	۳۲/۲(۱۴/۵)	۵۳/۸(۲۶/۲)	
-۷	۶/۴	-۲۲	-۴/۴	-۱۱/۷	رشت
۹۲/۷(۲۸/۴)	۸۵/۶(۳۱/۲۲)	۴۷/۷(۲۵/۴)	۳۸/۶(۱۵/۶)	۵۳/۸(۲۲)	
-۲۶	-۲۸	-۲۴ **	-۱۴/۸ **	۱۱/۸	بندرانزلی
۱۲۲/۶(۴۱/۴)	۱۱۸(۴۵/۷)	۵۷ (۳۰)	۳۵/۶(۱۳/۴)	۶۶/۹ (۲۵)	

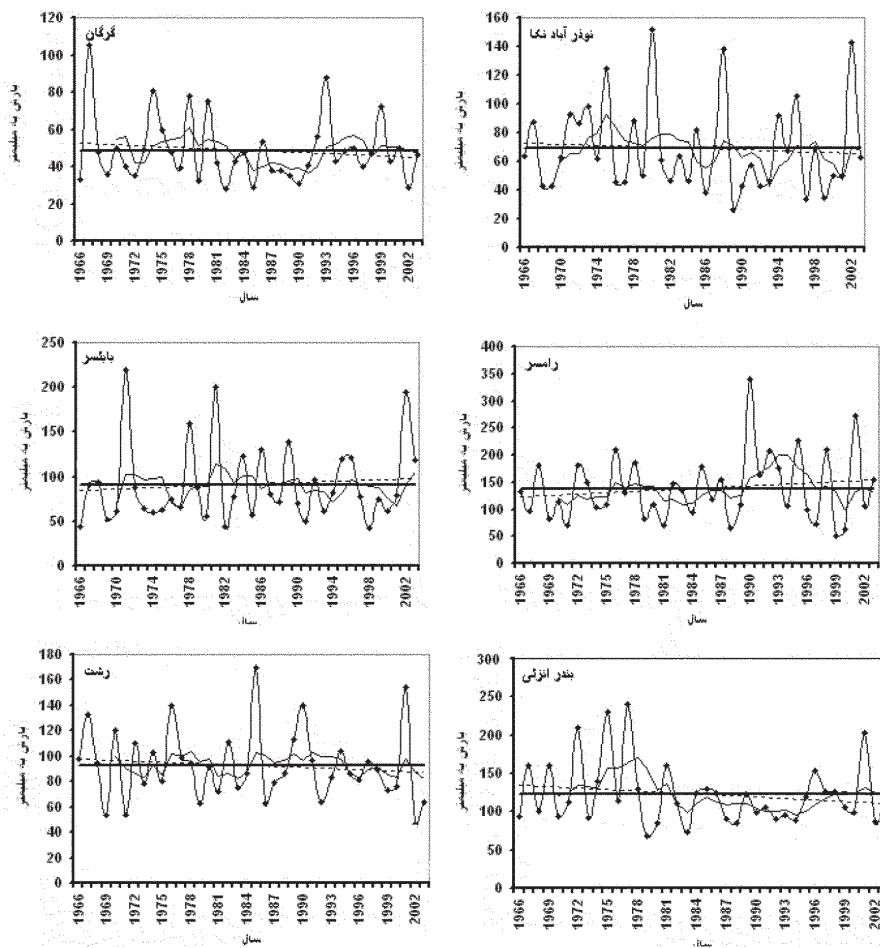
* معنی داری آماری در فاصله اطمینان ۹۹.۹۰

** معنی داری آماری در فاصله اطمینان ۹۹.۹۵

روند نزولی بارش‌های سنگین مواجه نبوده بلکه روند کاهش شدیدتری در فصل تابستان ارزلی و حتی رامسر نیز تجربه شده است.

اگرچه نتایج این بررسی به نوار ساحلی محدود شده و روند بارندگی از خط ساحلی به طرف خشکی کمتر می‌شود، ولی براساس نتایج یک بررسی در گذشته، معلوم شد به دنبال تضعیف تدریجی جبهه نسیم دریا و کاهش بارش‌های بیش از ۱۰۰ میلیمتر روزانه روی عرض جلگه، دوباره یک مرکز پریاران دیگری با تقویت بادهای آناباتیک و انتقال رطوبت از سطح دریا به سمت خشکی، روی دامنه‌های شمالی البرز تشکیل می‌شود [۵].

در اغلب ایستگاهها با توجه به مقادیر متوسط بالاترین بارش‌های ۲۴ ساعته فصل پاییز و مقایسه آن با مقادیر سالانه دیده می‌شود که فصل پاییز بیشترین سهم و فراوانی را از شدیدترین بارش‌های سالانه دارد. اما پس از آن، دومین فصل با اهمیت در سطح حوضه یکسان نیست و فقط برای استان گلستان به تابستان و بهار اختصاص دارد، در صورتی که برای سایر استانهای غرب حوضه، دومین فصل پر باران مربوط به زمستان است.



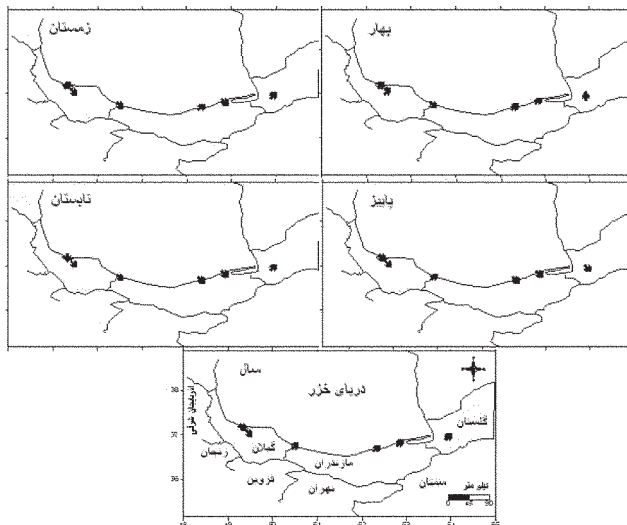
شکل ۲ - مدل‌های نوسانی بالاترین بارش‌های ۲۴ ساعته سالیانه به میلیمتر در سواحل جنوبی دریای خزر (منحنی مربع دار)، روند بلندمدت (امتداد نقطه چین)، میانگین بلندمدت (امتداد افقی ضخیم) و میانگین متحرک ۵ ساله (منحنی باریک)

شاخص بی نظمی

شکل ۳ الگوی نهایی از چگونگی شکل گیری روند رژیم بارندگی‌ها در منطقه مورد مطالعه را نشان می‌دهد. با توجه به این شکل، شاخص بی نظمی سالانه به استثنای استان گیلان، در استانهای گلستان و مازندران در حال افزایش است. در فصل پاییز نیز تا هنجری، در غرب مازندران روند

صعودی یافته است، ولی بیشترین افزایش معنی دار مربوط به فصل بهار در گرگان روی داده که این شرایط کماکان به صورت محسوسی در فصل تابستان نیز ادامه داشته است (برغم انحراف مخالف در سایر ایستگاههای غربی به خصوص انزلی).

رشد ضریب بی نظمی نشانگر شکل گیری افزایش به سمت بارشهای سنگین روزانه فضول گرم در استان گلستان و پاییز در غرب مازندران است. مسلماً چون ارتفاع حاصل از آب بارش کاملاً محصول ۲۴ ساعت بارندگی نمی باشد و حتی احتمال کوتاه تر شدن پایه های زمانی این نوع بارندگیها نسبت به نرمال نیز وجود دارد، بنابراین تکرار بارشهای شدید و وقوع سیلابها در این نواحی چندان دور از انتظار نیست.



شکل ۳- پراکندگی فضایی روند شاخص بی نظمی بارش در سواحل جنوبی دریای خزر مربوط به فضول زمستان، بهار، تابستان، پاییز و سال، \uparrow روند افزایش با معنی داری آماری ۹۵٪ \downarrow روند کاهش با معنی داری آماری ۹۵٪ \rightarrow روند افزایشی بدون معنی داری آماریف \blacktriangleleft روند کاهشی بدون معنی داری آماری

نتیجه گیری

در این مطالعه شرایط بارندگی نوار جنوبی دریای خزر به ویژه تغییرات سه دهه انتهایی قرن بیستم روی ۶ ایستگاه نمونه مورد بحث و بررسی واقع شده است. مهمترین یافته های این تحقیق حکایت از

آن دارد که شرایط رطوبتی جدیدی در سطح این حوضه در حال شکل گیری بوده و به نظر می رسد مرزهای اقلیمی که تا گذشته با آن رو به رو بوده ایم، اکنون به تدریج در حال تغییر دادن قلمرو خود هستند. عنصر بارندگی در ساحل جنوب شرقی به ویژه در فصل زمستان در حال کاهش است. این درحالی است که با حرکت در امتداد خط ساحلی به سمت غرب، ابتدا در بابلسر بارندگی در فصل پاییز افزایش نشان داده، سپس به تدریج بعد از رامسر تغییرات کاهشی آن تا انزلی برتری می یابد. بنابراین اگر چنین تغییراتی در ارتفاعات شمالی مجاور جلگه مازندران روی مرکز پرباران دوم علیرغم خط ساحلی هم روی داده باشد، فرایندهای دامنه ای وابسته، نظیر فرسایش، سیلاب و رانش زمین هم در اراضی شیبدار غرب استان مازندران تشید خواهد شد. چنین امری تا اندازه ای می تواند اولویت اجرای طرحهای آبخیزداری در نواحی فوق را بازگو کند. تغییرات بارندگی در دوره گرم سال در مجموع ایستگاههای هواسنجی افت نشان داده است که تمرکز بیشتر مربوط به ایستگاه انزلی و سپس متوجه شرق و مرکز ناحیه است. این مسئله در سالهای اخیر دسترسی مستقیم کشاورزان به منابع آب حاصل از بارندگیهای فصول بهار و تابستان را کاهش داده و به دلیل نیاز به مصرف زیاد آب کشاورزی در این موقع از سال، به ناچار با صرف هزینه زیاد فشار روی آبهای زیرزمینی متمرکز شده است که در صورت ادامه این روند منجر به کاهش سطح آبهای زیرزمینی یا تخلیه کامل آنها خواهد شد. بالاترین بارشهای ۲۴ ساعته روی نوار ساحلی، گرچه در اغلب موارد مربوط به فصل پاییز بوده و در ناحیه غرب مازندران هم بیشترین تغییرات افزایشی را تجربه کرده است، اما از رگبارهای قابل توجه استان گلستان هم در نیمه گرم سال نمی توان به آسانی گذشت. درخصوص ضریب بی نظمی مشخص شد که بخش جنوب شرقی منطقه از روند رو به رشد بارندگی های سنگین چشمگیر بهاره و تابستانه برخوردار است و همین امر تا اندازه زیادی می تواند وقوع سیلابهای این ناحیه در سالهای اخیر را توجیه نماید. بخش غربی استان مازندران هم در فصل پاییز به سمت الگوی رگباری پیش می رود. بنابراین حوضه ها و شهرهای واقع در محدوده تغییرات افزایش بی نظمی، در کنار دخالت ها و دستکاری های تشید کننده بشر در این عرصه، در آینده تکرار طغیان آب رودخانه ها و آب گرفتگی معابر را به همراه خواهد داشت.

منابع

- ۱ انصافی مقدم، طاهره، ۱۳۸۴، تعیین شاخص خشکی در حوضه دریاچه نمک به روش دمارتن، نیوار، شماره ۵۷، ۳۳-۵۶.
- ۲ براتی، غلامرضا و سید شفیع، موسوی، ۱۳۸۴، جایگاهی مکانی موجهای زمستانی گرمادار ایران، جغرافیا و توسعه، شماره ۵، ۴۱-۵۲.
- ۳ خورشید دوست، علیمحمد و یوسف، قویدل، ۱۳۸۲، مطالعه نوسانات بارش، پیش‌بینی و تعیین فضول مرطوب و خشک زمستانه استان آذربایجان شرقی، فصلنامه تحقیقات جغرافیایی، شماره ۷۲، ۲۵-۳۶.
- ۴ خوشحال، جواد، حسینعلی، غیور و داریوش، رحیمی، ۱۳۸۴، کاربرد مدل ترکیبی گامبل در تجزیه و تحلیل فراوانی بارشهای حداکثر حوضه کارون شمالی، جغرافیا و توسعه، شماره ۵، ۷۳-۸۳.
- ۵ خوشحال دستجردی، جواد، ۱۳۷۶، تحلیل و ارایه مدل‌های سینوپتیکی، کلیماتولوژی برای بارشهای پیش از ۱۰۰ میلیمتر در سواحل جنوبی دریای خزر، رساله دکتری دانشگاه تربیت مدرس.
- ۶ طاووسی، تقی و حسینعلی، غیور، ۱۳۸۲، شناخت فرایندهای بیابانزایی در اکوسیستم خشک چاله گاو خونی، فصلنامه تحقیقات جغرافیایی، شماره ۶۸، ۶۳-۸۲.
- ۷ هدایتی دزفولی، اکرم، ۱۳۸۱، برخی مشخصه‌های آماری بارندگی تهران، نیوار، شماره ۴۷، ۵۵-۷۰.
- ۸ علیجانی، بهلول و مجیدزاده‌ی، ۱۳۸۱، تحلیل آماری و سینوپتیکی بارندگی آذربایجان، فصلنامه تحقیقات جغرافیایی، شماره ۶۶، ۲۰۲-۲۱۷.
- ۹ علیجانی، بهلول، ۱۳۸۱، شناسایی تیپ‌های هوایی باران آور تهران براساس محاسبه چرخندگی، فصلنامه تحقیقات جغرافیایی، شماره ۶۴، ۱۱۴-۱۳۲.
- ۱۰ علیجانی، بهلول، ۱۳۷۴، آب و هوای ایران، جاپ سوم، ۱۳۷۶، دانشگاه پیام نور.
- ۱۱ عزیزی، قاسم، ۱۳۸۲، ارتباط خشکسالی‌های اخیر و منابع آب زیرزمینی در دشت قزوین، پژوهش‌های جغرافیایی، شماره ۴۶، ۱۳۱-۱۴۳.
- ۱۲ غیور، حسنعلی و حسین، عساکره، ۱۳۸۱، مطالعه اثر پیوند از راه دور بر اقلیم ایران، مطالعه موردی: اثر نوسانات اطلس شمالی و نوسانات جنوبی بر تغییرات میانگین ماهانه دمای جاسک، ۶۴، ۹۳-۱۱۳.
- ۱۳ مرادی، حمیدرضا، ۱۳۸۲، بررسی روند خشکسالی در استان مازندران، خشکی و خشکسالی

کشاورزی، ۱۰، ۸۳-۹۴.

- یوسفی، حسن، زمانیابی ورود پرفشار سیبری به سواحل جنوبی دریای خزر و تاثیر سینوپتیکی آن بر بارشهای پاییزی منطقه، ۱۳۸۲، عزیزی، قاسم، پایان نامه کارشناسی دانشگاه تهران.

15. Albert P., Osentinsky I., Ziv B., Shafir H., 2004, A New Season Definition based on Classified Daily Synoptic Systems, An Example for the Eastern Mediterranean, International Journal of Climatology 24, 1013-1021.
16. Doemroes M., Tantwi AE., 2004, Recent Temporal and Spatial Temperature Changes in Egypt, International Journal of Climatology 25, 51-63.
17. Feidas H., Makrogiannis T., Bora SE., 2004, Trend Analysis of Air Temperature Time Series in Greece and their Relationship with Circulation Using Surface and Satellite Data, 955-2001, Theoretical and Applied Climatology 79, 185-208.
18. Hasnean HM., 2004, Wintertime Surface Temperature in Egypt in Relation to the Associated Atmospheric Circulation, International Journal of Climatology 24, 985-999.
19. Kahana, R., Baruch Z., Yehouda E. and Uri D., 2002, Synoptic Climatology of Major Floods in the NEGEV Desert, ISRAEL, Int. J. Climatol 22, 867-882.
20. Nazemosadat MJ., AR., Ghasemi, 2004, Quantifying the ENSO?Related Shifts in the Intensity and Probability of Drought and Wet Periods in Iran, Journal of Climate 17, 4005-4018.
21. Neng SH. and Luwen CH., 2004, Evolution and Features of Global Land June-August Dry/Wet Periods during 1920-2000, Int. J. Climatol 24, 1483-1493.